

# Cálculo de disparidade entre duas câmeras deslocadas e com um giro de perspectiva

Fernando Pujaico Rivera

23 de março de 2018

## Resumo

Aqui descreverei como obter o mapa de disparidade, mediante a informação proveniente de duas câmeras deslocadas nos 3 eixos e com linhas de visão não paralelas.

## 1 Introdução

Este trabalho visa resolver o problema de determinar o mapa de disparidade desde a informação fornecida por duas imagens, Imagem 1 e Imagem 2, com pontos de coincidência  $D_{1p}$  e  $D_{2p}$  respectivamente. Assim, para obter o mapa de disparidade, se simplificará o problema a que deseja-se determinar a posição de um ponto  $P$  visto desde as perspectivas das bases canônicas de coordenadas da câmera 1 e da câmera 2. A Figura 1 descreve esta situação mais detalhadamente.

Serão considerados dois tipos de bases para os eixos coordenados, teremos a base canônica e a base não canônica, que denominaremos base natural. Ambas câmeras terão bases, canônicas ou naturais, com eixos perpendiculares entre si, e com o ponto  $(0,0,0)$  sobre as câmeras, independentemente de se a base é canônica ou natural. Para descrever estas bases, usaremos os elementos  $\{+X, +Y, +Z\}$  para denotar a direção dos eixos perpendiculares, sendo que existirá uma triada  $\{+X, +Y, +Z\}$  para cada base canônica e natural.

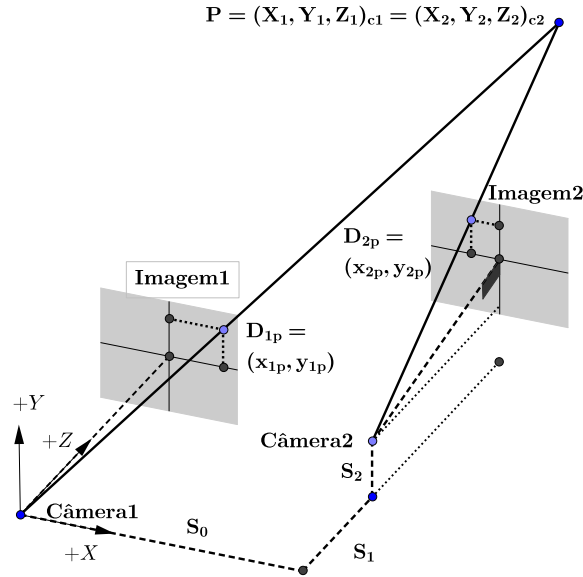


Figura 1: Modelo do sistema com duas câmeras deslocadas e com linhas de visão não paralelas.

Será chamado de base natural da câmera 1, ao eixo  $+Z$  apontando perpendicularmente à Imagem 1, o eixo  $+X$  apontando a direita da imagem 1 e o eixo  $+Y$  apontando para arriba da

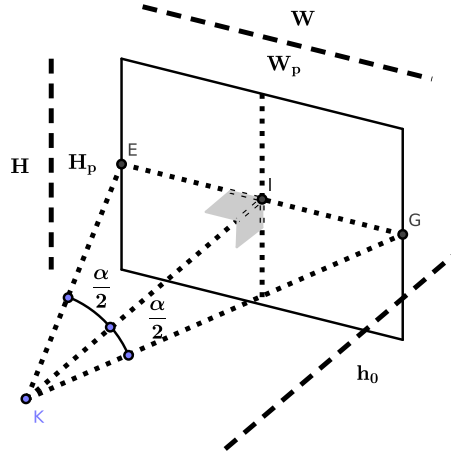


Figura 2: Ângulo,  $\alpha$ , de visão horizontal da câmera.

mesma imagem; para esta câmera será considerado que a base canônica é a mesma da base natural.

A base natural da câmera 2 terá o eixo  $+Z$  apontando perpendicularmente à Imagem 2, o eixo  $+X$  apontando a direita da imagem 2 e o eixo  $+Y$  apontando para arriba da mesma imagem. Se considerará que a base natural da câmera 2 é distinta da base canônica da mesma câmera, de modo que a base canônica da câmera 2 terá os eixos coordenados paralelos aos eixos da base canônica da câmera 1.

Em todo este trabalho o uso de uma variável com sub-índice  $p$ , indicará que o número que representa a variável usa unidades em pixels. De não ser assim, deve-se considerar que a distancia está em metros.

## 2 Dados do problema

### 2.1 Dados da câmera e dos arquivos de imagem

Em todo este trabalho assume-se que ambas câmeras tem a mesma configuração física, como a especificada na Figura 2. Ali pode-se ver que a imagem é gerada a uma distancia  $h_0$  (em metros) da câmera, formando um ângulo reto com a sua linha de visão, que coincide com o eixo  $+Z$  de sua base natural. O ponto de interseção ( $I$  na Figura 2) está no ponto médio, horizontal e vertical, da imagem. Será definido como  $\alpha$  ao ângulo de visão horizontal das câmeras. Como é mostrado no Teorema 2, o ângulo  $\alpha$  cumpre que,

$$\frac{W}{h_0} = 2 \tan\left(\frac{\alpha}{2}\right), \quad (1)$$

$$\frac{H}{h_0} = 2 \tan\left(\frac{\alpha}{2}\right) \frac{H_p}{W_p}, \quad (2)$$

onde  $W$  é  $H$  são o comprimento e a altura da imagem, ambas em metros. A Tabela 1 mostra o único parâmetro físico da câmera que será usado para obter o mapa de disparidade.

Tabela 1: Dados físico-mecânicos da câmera.

Dados da câmera		
variável	Descrição	Unidades
$\alpha$	Ângulo de visão horizontal da câmera.	radianos

$W_p$  é  $H_p$  são o comprimento e a altura da imagem em pixels. Estos dados são extraídos do arquivo de imagem, pelo qual são fáceis de obter. Se considera que a câmera 1 e a câmera 2 geram

arquivos de imagem do mesmo comprimento em pixels. A Tabela 2 mostra os dados do arquivos de imagem que serão usados para obter o mapa de disparidade.

Tabela 2: Dados de comprimento e altura em pixels provenientes do arquivo da imagem.

Dados dos arquivos		
variável	Descrição	Unidades
$W_p$	Largura da imagem.	pixels
$H_p$	Altura da imagem.	pixels

## 2.2 Dados da geometria do problema

Dado que se terão duas câmeras deslocadas e rotacionadas no espaço, como mostra a Figura 1, para obter o mapa de disparidade deve-se assumir que se tem informação do deslocamento e do giro da câmera. O deslocamento será medido em referencia da câmera 1, assim um deslocamento de  $(S_0, S_2, S_1)_{c1}$  indicará que a câmera 2 está localizada a uma distancia  $S_0$  à direita da imagem 1, a uma distancia  $S_2$  para acima da imagem 1, e a uma distancia  $S_1$  no eixo  $+Z$  da base canônica da câmera 1. Por definição se considera que a câmera 1 não tem giro nenhum. O giro da câmera 2 é medido em referencia da base canônica da câmera 2, que é paralela à base canônica da câmera 1. A matriz  $M_{N \rightarrow C}$  representa a matriz de transformação de um ponto,  $A$ , na base natural da câmera 2 a seu equivalente,  $B$ , na base canônica da mesma câmera.

$$B = M_{N \rightarrow C} A \quad (3)$$

A Tabela 3 mostra os dados da geometria que serão usados para obter o mapa de disparidade.

Tabela 3: Dados provenientes do analises da geometria do sistema.

Dados da geometria		
variável	Descrição	Unidades
$S_0$	Deslocamento da câmera 2 no eixo $+X$ em referencia à câmera 1.	metros
$S_1$	Deslocamento da câmera 2 no eixo $+Z$ em referencia à câmera 1.	metros
$S_2$	Deslocamento da câmera 2 no eixo $+Y$ em referencia à câmera 1.	metros
$M_{N \rightarrow C}$	Matriz de troca de base de um ponto na base natural (em pixels ou em metros) à base canônica.	adimensional

## 2.3 Dados do reconhecimento de pontos de coincidência

Entre os dados mais importantes para a obtenção do mapa de disparidade, estão os pontos de coincidência. Estes consistem em pares de pontos  $\{D_{1p}, D_{2p}\}$ , que representam um ponto  $D_{1p} = (x_{1p}, y_{1p})$  em pixels na imagem 1 e seu correspondente,  $D_{2p} = (x_{2p}, y_{2p})$ , visto na imagem 2. Lembrando que a imagem 1 e a imagem 2 tem seus eixos coordenado, bidimensionais, referenciados à base natural das câmeras 1 e 2. A Tabela 4 mostra os dados de pontos de coincidência que serão usados para obter o mapa de disparidade.

## 3 Solução do problema

Para resolver o problema dividiremos este em duas partes. Na primeira tomaremos em conta só que a imagem está deslocada ( Seção 3.1) e não existe giro de câmeras. Na segunda só se analisará o giro da câmera 2, e se corrigirá o ponto  $D_{2p}$  na base natural da câmera 2 para que fique expressado

Tabela 4: Dados provenientes do reconhecimento de pontos de coincidentes.

Dados de pontos coincidentes		
variável	Descrição	Unidades
$x_{1p}$	Distancia no eixo $X$ , medida na imagem da câmera 1.	pixels
$y_{1p}$	Distancia no eixo $Y$ , medida na imagem da câmera 1.	pixels
$x_{2p}$	Distancia no eixo $X$ , medida na imagem da câmera 2.	pixels
$y_{2p}$	Distancia no eixo $Y$ , medida na imagem da câmera 2.	pixels

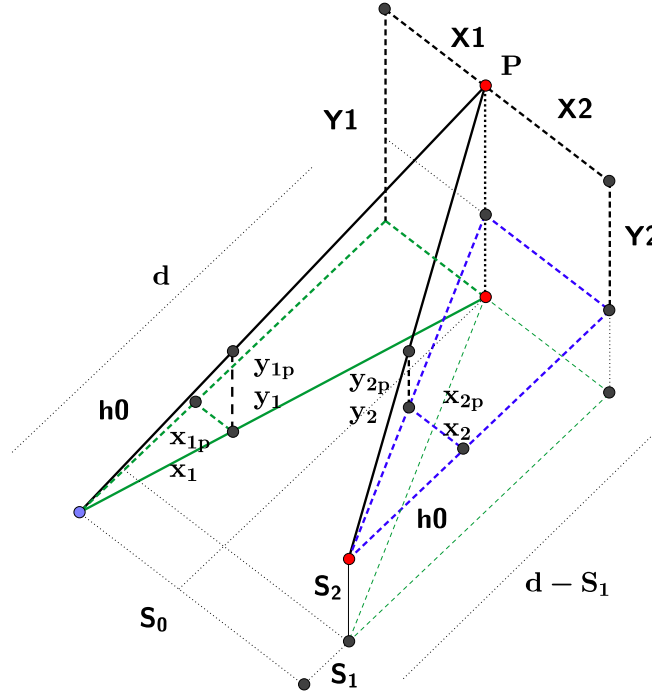


Figura 3: Posição de duas câmeras deslocadas no espaço.

na base canônica da mesma câmera. Logicamente este novo ponto terá que ser projetado a um plano de imagem virtual na base canônica, para mais detalhes ver a Seção 3.2.

### 3.1 Câmeras deslocadas

Nesta seção se considera que não existe rotação dos eixos das câmeras, pelo qual a base canônica da câmera 2 será a mesma que sua base natural. A Figura 3 mostra a disposição geométrica de duas câmeras deslocadas no espaço, onde o ponto  $(S_0, S_2, S_1)_{c1}$  representa o deslocamento da câmera 2 em referencia à base canônica da câmera 1. Também pode-se ver o ponto  $P$ , que representa o objeto em estudo ao qual deseja-se obter a sua disparidade, é dizer a sua distancia no eixo  $+Z$  referenciado à base canônica das câmeras. Observa-se que este ponto pode ser representado na base canônica da câmera 1 como  $(X_1, Y_1, Z_1)_{c1}$  e na base canônica da câmera 2 como  $(X_2, Y_2, Z_2)_{c2}$ . Pelo Teorema 1 sabemos que,

$$X_1 = 2 \tan\left(\frac{\alpha}{2}\right) d \frac{x_{1p}}{W_p}, \quad (4)$$

$$Y_1 = 2 \tan\left(\frac{\alpha}{2}\right) d \frac{y_{1p}}{W_p}, \quad (5)$$

$$Z_1 = d, \quad (6)$$

e que,

$$X_2 = 2 \tan\left(\frac{\alpha}{2}\right)(d - S_1) \frac{x_{2p}}{W_p}, \quad (7)$$

$$Y_2 = 2 \tan\left(\frac{\alpha}{2}\right)(d - S_1) \frac{y_{2p}}{W_p}, \quad (8)$$

$$Z_2 = d - S_1. \quad (9)$$

Onde  $d$  pode ser calculado ate de duas formas distintas. Se  $x_{1p} \neq x_{2p}$  então

$$d = d_W \equiv \frac{\cot(\frac{\alpha}{2})}{2} \frac{W_p S_0}{(x_{1p} - x_{2p})} - \frac{x_{2p} S_1}{(x_{1p} - x_{2p})}, \quad (10)$$

e se  $y_{1p} \neq y_{2p}$  então

$$d = d_H \equiv \frac{\cot(\frac{\alpha}{2})}{2} \frac{W_p S_2}{(y_{1p} - y_{2p})} - \frac{y_{2p} S_1}{(y_{1p} - y_{2p})}. \quad (11)$$

Um conjunto valido de pontos  $\{D_{1p}, D_{2p}\}$ , com  $x_{1p} \neq x_{2p}$  e  $y_{1p} \neq y_{2p}$ , sempre cumprirá ambas equações. De não cumprir-se que  $x_{1p} \neq x_{2p}$  ou  $y_{1p} \neq y_{2p}$ , a sua equação de cálculo de  $d$  se descarta e se usa a outra. Na resolução do Teorema 1, está explicado que acontece se  $x_{1p} = x_{2p}$  e/ou  $y_{1p} = y_{2p}$ .



Um dado interessante pode ser obtido mediante o Corolário 1, onde sabe-se que se  $x_{1p} \neq x_{2p}$  e  $y_{1p} \neq y_{2p}$ , então um ponto  $\gamma_p = (x_{1p}, x_{2p}, y_{1p}, y_{2p})$  que é válido (proveniente de um “match” certo), cumpre a seguinte equação

$$0 = f(x_{1p}, x_{2p}, y_{1p}, y_{2p}) \equiv (K S_2 - y_{2p})(x_{1p} - x_{2p}) - (K S_0 - x_{2p})(y_{1p} - y_{2p}) \quad (12)$$

com  $K \equiv \frac{\cot(\alpha/2)}{2} \frac{W_p}{S_1}$ .



No caso de tiver um ponto  $\hat{\gamma}_p = (\hat{x}_{1p}, \hat{x}_{2p}, \hat{y}_{1p}, \hat{y}_{2p})$  que não cumpre a equação 12, que é equivalente a dizer que  $d_H \neq d_W$ . Pode-se optar por usar o Corolário 2 para achar um ponto  $\gamma_p$  na superfície de  $0 = f(\gamma_p)$  que tenha a mínima distancia com  $\hat{\gamma}_p$ .

### 3.2 Câmera 2 girada

Ate agora tem-se obtido o mapa de disparidade para duas câmaras deslocadas, quando os eixos canônicos são os mesmos do seus respectivos eixos naturais.

Nesta seção se analisará o caso quando a câmera 2 tem sua base natural rotacionada em relação a sua base canônica. Para isto temos que imaginar que depois da obtenção dos pontos de coincidência, “match” do ponto  $P$ , foram retornados dois pontos, um para imagem 1 e outro para imagem 2. Estes apontam a um mesmo objeto, ponto  $P$ , visto de duas perspectivas distintas (câmera 1 e 2). É importante lembrar que as imagens retornadas pelas câmeras sempre estão referenciadas a base natural. Assim, o ponto bidimensional sobre a imagem 2, nesta seção será chamado de  $D_{2Np}$ , onde o sub-índice  $2Np$  indica que corresponde a câmera 2, está referenciado à base natural e usa unidades em pixels.

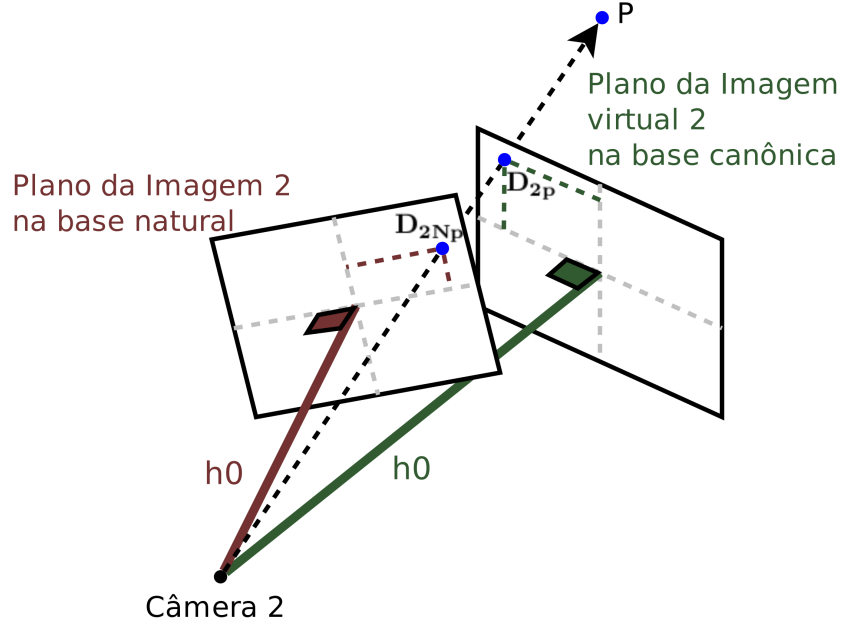


Figura 4: Plano da imagem na base natural versus o plano da imagem virtual na base canônica.

Para poder reusar o procedimento desenvolvido na Seção 3.1 é necessário projetar o ponto  $D_{2Np}$  do plano de imagem na base natural a um plano de imagem, “virtual”, na base canônica. Esta projeção será chamada de ponto  $D_{2p}$ , e também será um ponto bidimensional. A Figura 4 mostra esta distribuição de pontos mais detalhadamente.

Seguindo o Teorema 4 sabe-se que: se a partir de  $D_{2Np} = (x_{2Np}, y_{2Np})$  criamos o ponto tridimensional

$$P_{2Np} = \begin{pmatrix} x_{2Np} \\ y_{2Np} \\ \frac{\cot(\alpha/2)}{2} W_p \end{pmatrix}, \quad (13)$$

podemos avaliar a seguinte equação

$$D_{2p}^T = \frac{W_p \cot(\alpha/2)}{2} \frac{e_{xy} M_{N \rightarrow C} P_{2Np}}{e_z M_{N \rightarrow C} P_{2Np}}, \quad (14)$$

para obter o ponto  $D_{2p} = (x_{2p}, y_{2p})$ , onde  $e_{xy}$  e  $e_z$  são definidos em (70) e (71), respectivamente.

Finalmente o ponto  $D_{2p}$  será utilizado para el cálculo del mapa de disparidade como é explicado na Seção 3.1.

## 4 Anexo

### Teorema 1: Cálculo de disparidade

Dadas duas câmeras, câmera 1 e câmera 2 como mostra a Figura 3, que tem eixos de referencia diferentes mas paralelos e estão separados uma distancia  $(\Delta X, \Delta Y, \Delta Z)_{c1} = (S_0, S_1, S_2)_{c1}$ , referenciado à câmera 1. Estas observam um mesmo ponto  $P$  seguindo seus respetivos eixos de referencia, tendo assim observações  $P_{c1}$  e  $P_{c2}$  respectivamente. Pelo qual, seguindo o eixo de referencia da câmera 1,  $P_{c1}$  será igual a:

$$P_{c1} = (X_1, Y_1, Z_1)_{c1} \quad (15)$$

e seguindo o eixo de referencia da câmara 2,  $P_{c2}$  será igual a:

$$P_{c2} = (X_2, Y_2, Z_2)_{c2}. \quad (16)$$

Onde

$$X_1 = 2\tan\left(\frac{\alpha}{2}\right)d\frac{x_{1p}}{W_p} \wedge Y_1 = 2\tan\left(\frac{\alpha}{2}\right)d\frac{y_{1p}}{W_p} \quad (17)$$

$$X_2 = 2\tan\left(\frac{\alpha}{2}\right)(d - S_1)\frac{x_{2p}}{W_p} \wedge Y_2 = 2\tan\left(\frac{\alpha}{2}\right)(d - S_1)\frac{y_{2p}}{W_p} \quad (18)$$

$$Z_1 = d \wedge Z_2 = d - S_1. \quad (19)$$

Sendo que se  $x_{1p} \neq x_{2p}$  então

$$d = d_W \equiv \frac{\cot\left(\frac{\alpha}{2}\right)}{2} \frac{W_p S_0}{(x_{1p} - x_{2p})} - \frac{x_{2p} S_1}{(x_{1p} - x_{2p})} \quad (20)$$

e/ou se  $y_{1p} \neq y_{2p}$  então

$$d = d_H \equiv \frac{\cot\left(\frac{\alpha}{2}\right)}{2} \frac{W_p S_2}{(y_{1p} - y_{2p})} - \frac{y_{2p} S_1}{(y_{1p} - y_{2p})}. \quad (21)$$

*Demonstração.* O primeiro que podemos assumir, é que a proporção relativa entre a largura e a altura da imagem, é a mesma em metros que em pixels.

$$\frac{W}{H} = \frac{W_p}{H_p} \quad (22)$$

Isto é natural porque de não cumprir-se existiria uma distorção na imagem em pixels ao ser representada de forma visual. A proporcionalidade definida na equação (22) leva a afirmar para o ponto  $(x_1, y_1)$  que

$$\frac{x_1}{x_{1p}} = \frac{W}{W_p} \quad (23)$$

$$\frac{y_1}{y_{1p}} = \frac{H}{H_p}, \quad (24)$$

e similarmente para o ponto  $(x_2, y_2)$  que

$$\frac{x_2}{x_{2p}} = \frac{W}{W_p} \quad (25)$$

$$\frac{y_2}{y_{2p}} = \frac{H}{H_p}. \quad (26)$$

Usando a Figura 3 e o Teorema 3 pode-se afirmar que

$$\frac{X_1}{x_1} = \frac{d}{h_0} \wedge \frac{X_2}{x_2} = \frac{d - S_1}{h_0} \quad (27)$$

e

$$\frac{Y_1}{y_1} = \frac{d}{h_0} \wedge \frac{Y_2}{y_2} = \frac{d - S_1}{h_0} \quad (28)$$

Pela geometria do problema também pode-se afirmar que

$$X_1 - X_2 = S_0, \quad (29)$$

$$Y_1 - Y_2 = S_2. \quad (30)$$

Agora, incluindo a equações (23), e (25) em (27) obtemos

$$X_1 = d \frac{x_{1p}}{W_p} \frac{W}{h_0} \wedge X_2 = (d - S_1) \frac{x_{2p}}{W_p} \frac{W}{h_0}, \quad (31)$$

e incluindo a equações (24), e (26) em (28) obtemos

$$Y_1 = d \frac{y_{1p}}{H_p} \frac{H}{h_0} \wedge Y_2 = (d - S_1) \frac{y_{2p}}{H_p} \frac{H}{h_0}. \quad (32)$$

**Caso quando  $x_{1p} \neq x_{2p}$ :**

Assim, se assumimos que  $x_{1p} \neq x_{2p}$  e incluimos a equação (31) em (29) obtemos que

$$\frac{d}{W_p} \frac{W}{h_0} (x_{1p} - x_{2p}) = S_0 - S_1 \frac{x_{2p}}{W_p} \frac{W}{h_0} \quad (33)$$

e

$$d = \frac{h_0}{W} \frac{W_p S_0}{(x_{1p} - x_{2p})} - \frac{x_{2p} S_1}{(x_{1p} - x_{2p})}. \quad (34)$$

**Caso quando  $x_{1p} = x_{2p} = x_p$ :**

No caso contrario, se assumimos que  $x_{1p} = x_{2p} = x_p$  e incluimos a equação (31) em (29) obtemos a seguinte restrição para  $x_p$

$$S_0 = S_1 \frac{x_p}{W_p} \frac{W}{h_0}, \quad (35)$$

e nenhuma para a variável  $d$ .

**Caso quando  $y_{1p} \neq y_{2p}$ :**

Por outro lado se assumimos que  $y_{1p} \neq y_{2p}$  e incluimos a equação (32) em (30) obtemos que

$$\frac{d}{H_p} \frac{H}{h_0} (y_{1p} - y_{2p}) = S_2 - S_1 \frac{y_{2p}}{H_p} \frac{H}{h_0} \quad (36)$$

e

$$d = \frac{h_0}{H} \frac{H_p S_2}{(y_{1p} - y_{2p})} - \frac{y_{2p} S_1}{(y_{1p} - y_{2p})}. \quad (37)$$

**Caso quando  $y_{1p} = y_{2p} = y_p$ :**

No caso contrario, se assumimos que  $y_{1p} = y_{2p} = y_p$  e incluimos a equação (32) em (30) obtemos a seguinte restrição para  $y_p$

$$S_2 = S_1 \frac{y_p}{H_p} \frac{H}{h_0}, \quad (38)$$

e nenhuma para a variável  $d$ .

É fácil de ver que o único caso onde  $x_{1p} = x_{2p}$  e  $y_{1p} = y_{2p}$  será quando as duas câmeras estejam na mesma posição e com suas bases naturais em eixos paralelos. Para os demais casos, pelo menos uma de estas igualdades não será cumprida, e variável  $d$  poderá ser calculada.

Agora, tendo o valor da variável  $d$  em (34) e/ou (37), e usando o Teorema 2 para substituir  $h_0/W$  e  $h_0/H$ , pode-se afirmar que as equações (20) e (21) são verdadeiras. Da mesma forma pode ser substituído o valor  $h_0/W$  e  $h_0/H$  nas equações (31) e (32), obtendo-se as equações (17) e (18).  $\square$

#### Corolário 1: Superfície 4-dimensional de pontos válidos

Seguindo o Teorema 1, sobre um sistema onde as bases naturais das câmeras são paralelas entre si, como na Figura 3, sabe-se que se os pontos  $D_{1p} = (x_{1p}, y_{1p})$  e  $D_{2p} = (x_{2p}, y_{2p})$  cumprem que  $x_{1p} \neq x_{2p}$  e  $y_{1p} \neq y_{2p}$ , então eles pertencem à superfície

$$0 = f(x_{1p}, x_{2p}, y_{1p}, y_{2p}) \equiv f(\gamma_p), \quad (39)$$



onde

$$f(x_{1p}, x_{2p}, y_{1p}, y_{2p}) \equiv (KS_2 - y_{2p})(x_{1p} - x_{2p}) - (KS_0 - x_{2p})(y_{1p} - y_{2p}) \quad (40)$$

e

$$K \equiv \frac{\cot(\frac{\alpha}{2})}{2} \frac{W_p}{S_1} \quad (41)$$

*Demonstração.* Igualando as equações (20) e (21)

$$\frac{W_p \cot(\frac{\alpha}{2})}{2} \left( \frac{S_2}{(y_{1p} - y_{2p})} - \frac{S_0}{(x_{1p} - x_{2p})} \right) = S_1 \left( \frac{y_{2p}}{(y_{1p} - y_{2p})} - \frac{x_{2p}}{(x_{1p} - x_{2p})} \right). \quad (42)$$

Usando a definição (41) obtemos

$$K \left( \frac{S_2}{(y_{1p} - y_{2p})} - \frac{S_0}{(x_{1p} - x_{2p})} \right) = \left( \frac{y_{2p}}{(y_{1p} - y_{2p})} - \frac{x_{2p}}{(x_{1p} - x_{2p})} \right). \quad (43)$$

Reordenando a equação anterior, temos

$$K(S_2(x_{1p} - x_{2p}) - S_0(y_{1p} - y_{2p})) = (y_{2p}(x_{1p} - x_{2p}) - x_{2p}(y_{1p} - y_{2p})), \quad (44)$$

e finalmente

$$(KS_2 - y_{2p})(x_{1p} - x_{2p}) - (KS_0 - x_{2p})(y_{1p} - y_{2p}) = 0. \quad (45)$$

□

#### Corolário 2: Ponto na superfície $0 = f(\gamma_p)$ com a menor distancia a $\hat{\gamma}_p$

Seguindo o Teorema 1 e o Corolário 1, sobre um sistema onde as bases naturais das câmeras são paralelas entre si, como na Figura 3. Sim se tem um ponto  $\hat{\gamma}_p = (\hat{x}_{1p}, \hat{x}_{2p}, \hat{y}_{1p}, \hat{y}_{2p})$  que não pertence à superfície  $0 = f(\gamma_p) \equiv (KS_2 - y_{2p})(x_{1p} - x_{2p}) - (KS_0 - x_{2p})(y_{1p} - y_{2p})$  com  $K = \frac{\cot(\frac{\alpha}{2})}{2} \frac{W_p}{S_1}$ .

Então o ponto  $\gamma_p$  mais próximo a  $\hat{\gamma}_p$  na superfície  $0 = f(\gamma_p)$ , pode ser achado com a seguinte equação iterativa de  $\beta = (x_{1p}, x_{2p}, y_{1p}, y_{2p}, \lambda)^T$ .

$$\beta_{i+1} := \beta_i - [\mathbf{J}^T(\beta_i)\mathbf{J}(\beta_i)]^{-1} \mathbf{J}^T(\beta_i)\mathbf{G}(\beta_i), \quad (46)$$

onde

$$\mathbf{G}(\beta) = \begin{pmatrix} 2(x_{1p} - \hat{x}_{1p}) + \lambda(KS_2 - y_{2p}) \\ 2(x_{2p} - \hat{x}_{2p}) + \lambda(y_{1p} - KS_2) \\ 2(y_{1p} - \hat{y}_{1p}) + \lambda(x_{2p} - KS_0) \\ 2(y_{2p} - \hat{y}_{2p}) + \lambda(KS_0 - x_{1p}) \\ (KS_2 - y_{2p})(x_{1p} - x_{2p}) - (KS_0 - x_{2p})(y_{1p} - y_{2p}) \end{pmatrix} \quad (47)$$

$$\mathbf{J}(\beta) = \begin{pmatrix} 2 & 0 & 0 & -\lambda & (KS_2 - y_{2p}) \\ 0 & 2 & \lambda & 0 & (y_{1p} - KS_2) \\ 0 & \lambda & 2 & 0 & (x_{2p} - KS_0) \\ -\lambda & 0 & 0 & 2 & (KS_0 - x_{1p}) \\ (KS_2 - y_{2p}) & (y_{1p} - KS_2) & (x_{2p} - KS_0) & (KS_0 - x_{1p}) & 0 \end{pmatrix}, \quad (48)$$

é sugerido que o valor inicial de  $\beta_0$  seja

$$\beta_0 = \begin{pmatrix} \hat{x}_{1p} \\ \hat{x}_{2p} \\ \hat{y}_{1p} \\ \hat{y}_{2p} \\ 0 \end{pmatrix}, \quad (49)$$

dado que considera-se que o ponto  $(\hat{x}_{1p}, \hat{x}_{2p}, \hat{y}_{1p}, \hat{y}_{2p})$  já está próximo à superfície.

**Nota:** Deve-se tomar cuidado que os valores iniciais e as soluções cumpram que  $x_{1p} \neq x_{2p}$  e  $y_{1p} \neq y_{2p}$ . De não cumprir-se alguma destas equações, deve-se tomar em conta as equações (35) e (38), e agregar valores aleatórios ao vetor  $\gamma_p$  para evitar cair em mínimos locais.

*Demonstração.* Para obter o ponto  $\gamma_p$  com a distancia mínima, do ponto  $\hat{\gamma}_p$  à superfície  $0 = f(\gamma_p)$ , usa-se a formulação de Lagrange,

$$L(\gamma_p, \lambda) = \|\gamma_p - \hat{\gamma}_p\|^2 + \lambda f(\gamma_p), \quad (50)$$

$$L(\gamma_p, \lambda) = (x_{1p} - \hat{x}_{1p})^2 + (x_{2p} - \hat{x}_{2p})^2 + (y_{1p} - \hat{y}_{1p})^2 + (y_{2p} - \hat{y}_{2p})^2 + \lambda f(x_{1p}, x_{2p}, y_{1p}, y_{2p}) \quad (51)$$

de modo que

$$\frac{\partial L(\gamma_p, \lambda)}{\partial x_{1p}} = 2(x_{1p} - \hat{x}_{1p}) + \lambda(KS_2 - y_{2p}) = 0 \quad (52)$$

$$\frac{\partial L(\gamma_p, \lambda)}{\partial x_{2p}} = 2(x_{2p} - \hat{x}_{2p}) + \lambda(y_{1p} - KS_2) = 0 \quad (53)$$

$$\frac{\partial L(\gamma_p, \lambda)}{\partial y_{1p}} = 2(y_{1p} - \hat{y}_{1p}) + \lambda(x_{2p} - KS_0) = 0 \quad (54)$$

$$\frac{\partial L(\gamma_p, \lambda)}{\partial y_{2p}} = 2(y_{2p} - \hat{y}_{2p}) + \lambda(KS_0 - x_{1p}) = 0 \quad (55)$$

$$\frac{\partial L(\gamma_p, \lambda)}{\partial \lambda} = (KS_2 - y_{2p})(x_{1p} - x_{2p}) - (KS_0 - x_{2p})(y_{1p} - y_{2p}) = 0 \quad (56)$$

As equações anteriores podem ser reordenadas como uma função vetorial  $\mathbf{G}(\beta) : \mathbb{R}^5 \rightarrow \mathbb{R}^5$ , com vetor de entrada  $\beta = (x_{1p}, x_{2p}, y_{1p}, y_{2p}, \lambda)$ ,

$$0 = \left( \frac{\partial L(\beta)}{\partial x_{1p}}, \frac{\partial L(\beta)}{\partial x_{2p}}, \frac{\partial L(\beta)}{\partial y_{1p}}, \frac{\partial L(\beta)}{\partial y_{2p}}, \frac{\partial L(\beta)}{\partial \lambda} \right) = \nabla L(\gamma_p, \lambda) \equiv \mathbf{G}^T(\beta) \quad (57)$$

Para achar o vetor  $\beta$  que cumpre a equação anterior, usaremos a regularização de Tikhonov [2, 1, 3]. Esta regularização resolve o problema anterior como a tentativa de achar o valor de  $\beta$  que minimiza  $e^2$  em

$$e^2 = \|\mathbf{G}(\beta)\|^2, \quad (58)$$

sendo a solução de Tikhonov a seguinte equação iterativa.

$$\beta_{i+1} := \beta_i - [\mathbf{J}^T(\beta_i)\mathbf{J}(\beta_i)]^{-1} \mathbf{J}^T(\beta_i)\mathbf{G}(\beta_i) \quad (59)$$

com  $\mathbf{J}(\beta)$  igual ao Jacobiano de  $\mathbf{G}(\beta)$ ,

$$\mathbf{J}(\beta) \equiv \frac{\partial \mathbf{G}(\beta)}{\partial \beta} = \begin{pmatrix} 2 & 0 & 0 & -\lambda & (KS_2 - y_{2p}) \\ 0 & 2 & \lambda & 0 & (y_{1p} - KS_2) \\ 0 & \lambda & 2 & 0 & (x_{2p} - KS_0) \\ -\lambda & 0 & 0 & 2 & (KS_0 - x_{1p}) \\ (KS_2 - y_{2p}) & (y_{1p} - KS_2) & (x_{2p} - KS_0) & (KS_0 - x_{1p}) & 0 \end{pmatrix} \quad (60)$$

□

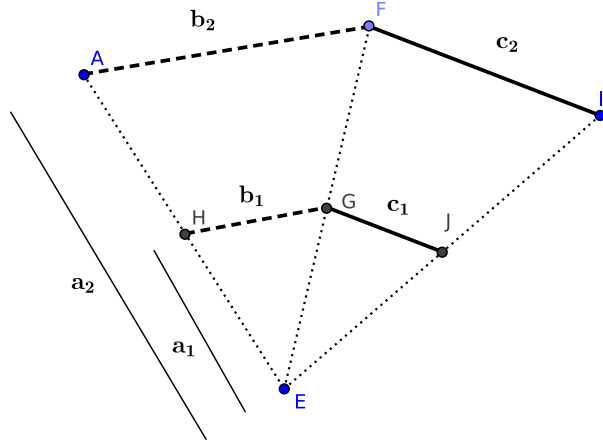


Figura 5: Regra das proporções em linhas paralelas.

### Teorema 2: Equivalência do ângulo $\alpha$

Dada uma câmera com um ângulo de visão horizontal  $\alpha$  como mostra a Figura 2, então é verdade que

$$\frac{W}{h_0} = 2 \tan\left(\frac{\alpha}{2}\right) \quad (61)$$

$$\frac{H}{h_0} = 2 \tan\left(\frac{\alpha}{2}\right) \frac{H_p}{W_p} \quad (62)$$

$$h_{0p} = W_p \frac{\cot\left(\frac{\alpha}{2}\right)}{2} \quad (63)$$

*Demonstração.* Na Figura 2 no triângulo retângulo  $EIK$  formado pelo ponto médio de  $\overline{EG}$  e os pontos  $E$  e  $K$ , pode-se deduzir que

$$\frac{W/2}{h_0} = \tan\left(\frac{\alpha}{2}\right). \quad (64)$$

Reordenando a anterior equação obtemos (61). Por outro lado é evidente que existe uma proporção comum entre a distancia em pixels e em metros. De modo que

$$\frac{W}{W_p} = \frac{H}{H_p} = \frac{h_0}{h_{0p}}. \quad (65)$$

Usando esta equação em (64) obtemos as equações (62) e (63).  $\square$

### Teorema 3: Proporcionalidade entre lados

Conhecidos dois triângulos  $AFE$  e  $FIE$  (ver Figura 5), que são cortados por as linhas  $\overline{HG} = b_1$  e  $\overline{GJ} = c_1$  paralelas a  $\overline{AF} = b_2$  e  $\overline{FI} = c_2$  respetivamente, se cumpre a seguinte relação com  $\overline{AE} = a_2$  e  $\overline{HE} = a_1$ :

$$\frac{a_2}{a_1} = \frac{b_2}{b_1} = \frac{c_2}{c_1} \quad (66)$$

*Demonstração.* Devido a que os triângulos são cortados por linhas paralelas, podemos afirmar que o triângulo  $HGE$  e o triângulo  $AFE$  são semelhantes. Da mesmo forma pode-se afirmar que o

triângulo  $GJE$  é semelhante ao triângulo  $FIE$ . Pelo qual existirá uma proporcionalidade entre seus lados, de modo que

$$\frac{\overline{AF}}{\overline{HG}} = \frac{\overline{AE}}{\overline{HE}} \quad \wedge \quad \frac{\overline{FI}}{\overline{GJ}} = \frac{\overline{FE}}{\overline{GE}}. \quad (67)$$

Pelo teorema de Tales sobre o triângulo  $AFE$ , sabemos que

$$\frac{\overline{AE}}{\overline{HE}} = \frac{\overline{FE}}{\overline{GE}}. \quad (68)$$

Das equações (67) e (68) pode-se deduzir que

$$\frac{\overline{AE}}{\overline{HE}} = \frac{\overline{AF}}{\overline{HG}} = \frac{\overline{FI}}{\overline{GJ}}. \quad (69)$$

e conseqüentemente a equação (66) é verdadeira.  $\square$

**Teorema 4: Método para achar o ponto de coincidência  $D_{2p}$  no plano de imagem virtual 2 na base canônica**

Nosso objetivo aqui será trasladar a informação proveniente de um ponto  $D_{2Np} = (x_{2Np}, y_{2Np})$ , no plano de imagem na base natural da câmera 2 a seu correspondente ponto  $D_{2p} = (x_{2p}, y_{2p})$  na imagem virtual na base canônica, como mostra a Figura 4.

Para isto, definimos as seguintes variáveis

$$e_{xy} \equiv \begin{pmatrix} 1 & 0 & 0 \\ 0 & 1 & 0 \end{pmatrix}, \quad (70)$$

$$e_z \equiv (0 \quad 0 \quad 1). \quad (71)$$

De modo que para obter o ponto  $D_{2p} = (x_{2p}, y_{2p})$ , avaliaremos as equações (72), (73) e (74), usando como entrada de dados o ponto  $D_{2Np} = (x_{2Np}, y_{2Np})$  e a matriz de troca de base  $M_{N \rightarrow C}$ .

$$P_{2Np} = \begin{pmatrix} x_{2Np} \\ y_{2Np} \\ \frac{\cot(\alpha/2)}{2} W_p \end{pmatrix}, \quad (72)$$

$$\mu = \frac{2 \tan(\alpha/2)}{W_p} e_z M_{N \rightarrow C} P_{2Np}, \quad (73)$$

$$D_{2p}^T = \frac{e_{xy} M_{N \rightarrow C} P_{2Np}}{\mu}. \quad (74)$$

*Demonstração.* Primeiro redefinimos o ponto bidimensional,  $D_{2Np}$ , como um ponto tridimensional

$$P_{2Np} = (x_{2Np}, y_{2Np}, h_{0p})_{2Np}^T, \quad (75)$$

localizado a uma distancia  $h_{0p}$  (em pixels) no eixo  $+Z$  na base natural da câmera 2. Seu correspondente equivalente

$$P_{2Cp} = (x_{2Cp}, y_{2Cp}, h_{zp})_{2Cp}^T, \quad (76)$$

na base canônica, pode ser achado usando a matriz de troca de base,  $M_{N \rightarrow C}$ , que leva um ponto da base natural à base canônica. Como mostra a seguinte equação

$$P_{2Cp} = M_{N \rightarrow C} P_{2Np}. \quad (77)$$

A Figura 6 mostra esta distribuição de pontos. Um método para achar a matriz de troca de base pode ser visto em [4].

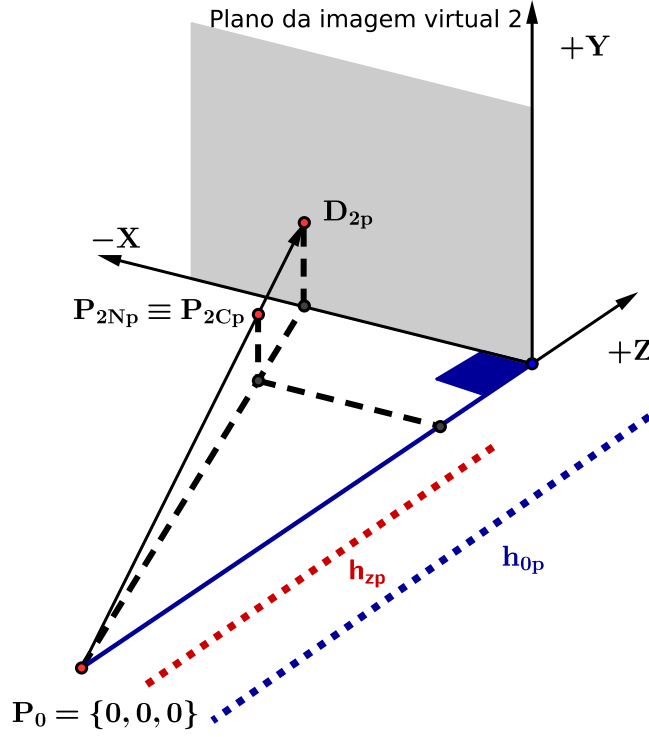


Figura 6: Projeção  $D_{2p}$  no plano da imagem virtual na base canônica da câmera 2, proveniente de um ponto  $P_{2Cp}$ .

Se redefinimos o ponto bidimensional,  $D_{2p}$ , como o ponto tridimensional

$$P_{2p} = (x_{2p}, y_{2p}, h_{0p})_{2Cp}^T, \quad (78)$$

localizado a uma distancia  $h_{0p}$  (em pixels) no eixo  $+Z$  da base canônica, é fácil de ver que  $P_{2Cp}$  é proporcional a  $P_{2p}$

$$P_{2p} = \frac{P_{2Cp}}{\mu} \quad (79)$$

Usando O Teorema 3 sabe-se que

$$\mu = \frac{h_{zp}}{h_{0p}}, \quad (80)$$

e usando o resultado do Teorema 2

$$h_{0p} = \frac{\cot(\alpha/2)}{2} W_p, \quad (81)$$

de modo que

$$\mu = \frac{2\tan(\alpha/2)}{W_p} h_{zp}, \quad (82)$$

Se introduzimos a equação (77) e a definição (71) na equação anterior obtemos

$$\mu = \frac{2\tan(\alpha/2)}{W_p} e_z M_{N \rightarrow C} P_{2Np}. \quad (83)$$

Finalmente usando a definição da equação (70) temos que

$$D_{2p}^T = e_{xy} P_{2p} \quad (84)$$

□

**Teorema 5: Análises de erro no cálculo da disparidade quando temos erros no reconhecimento nos pontos de coincidência**

Se consideramos que só o ponto  $D_{2p} = (x_{2p}, y_{2p})$  está sujeito a erro, dado que o ponto  $D_{1p} = (x_{1p}, y_{1p})$  é escolhido e o ponto  $D_{2p}$  é reconhecido. Então

$$\partial d_W \equiv \frac{h_{0p}S_0 - x_{1p}S_1}{(x_{1p} - x_{2p})^2} \partial x_{2p} \quad (85)$$

$$\partial d_H \equiv \frac{h_{0p}S_2 - y_{1p}S_1}{(y_{1p} - y_{2p})^2} \partial y_{2p} \quad (86)$$

De ambas é fácil de ver que o erro cresce assintoticamente quando  $x_{1p} - x_{2p}$  ou  $y_{1p} - y_{2p}$  tendem a zero.

*Demonstração.* Usando o Teorema 2 e a equação (20), subemos que

$$d_W \equiv \frac{h_{0p}S_0}{(x_{1p} - x_{2p})} - \frac{x_{2p}S_1}{(x_{1p} - x_{2p})}. \quad (87)$$

Se consideramos que só o ponto  $D_{2p} = (x_{2p}, y_{2p})$  está sujeito a erro, dado que o ponto  $D_{1p} = (x_{1p}, y_{1p})$  é escolhido e o ponto  $D_{2p}$  é reconhecido. Então o erro ao calcular  $d_W$  pode ser obtido aplicando a derivada parcial em referencia a  $x_{2p}$

$$\partial d_W \equiv \frac{h_{0p}S_0}{(x_{1p} - x_{2p})^2} \partial x_{2p} - \frac{(x_{1p} - x_{2p})S_1}{(x_{1p} - x_{2p})^2} \partial x_{2p} - \frac{x_{2p}S_1}{(x_{1p} - x_{2p})^2} \partial x_{2p}. \quad (88)$$

Simplificando a equação anterior podemos obter a equação (85). Seguindo o mesmo procedimento a equação (86) pode ser obtida.  $\square$

## Referências

- [1] A. Doicu, F. Schreier, and M. Hess. Iteratively regularized gauss–newton method for atmospheric remote sensing. *Computer physics communications*, 148(2):214–226, 2002.
- [2] M. E. Shobha and S. George. Newton type iteration for tikhonov regularization of nonlinear ill-posed problems in hilbert scales. *Journal of Mathematics*, 2014, 2014.
- [3] A. Tichonov and A. Leonov. *Ill-posed Problems in Natural Sciences: Proceedings of the International Conference Held in Moscow, August 19-25, 1991*. VSP, 1992.
- [4] X. X. X. X. X. X. X. XXX. . <https://www.youtube.com/watch?v=wG1-E5LRvac>.